# 多孔質球状中空シリカ-チタニアの触媒および吸着材への応用

日大生産工 ○外山直樹 水村 光希 林 亜咲 古川 茂樹

## 1. まえがき

課題に利用できる材料開発が求められている. 例えば、水質汚染や脱炭素化社会に向けた代替 エネルギーの開発は、さまざまな技術や研究が 行われている. 一方で, ある一つの反応に対し て高性能を示す材料は報告されているが、複数 の反応に対して高性能化を目指した研究例は 少ない. そこで、シリカとチタニアを用いた複 合酸化物に着目した. シリカ-チタニアでは, ケイ素の一部がチタニウムと置換することで, 酸性質が発現する. またゾル-ゲル法でシリカ ーチタニアを合成した場合, ゾル-ゲル反応速 度の違いから,一部でチタニア粒子の形成が考 えられる. 実際, 先行研究で合成したシリカー アルミナでは、ゾル-ゲル反応速度が速いアル ミナ粒子が存在していることがわかっている1). シリカとチタニアが均一に混じった相では, 酸性質が発現することから,アンモニアボラン 加水分解による水素生成反応への利用が期待 できる. さらにチタニア粒子は、水質浄化用 の代表的な光触媒として利用されている2). こ の方法で合成したシリカ-チタニアはチタニア 粒子が表面に分散されているため, 光触媒とし ての機能が発現することが期待できる. そこで メチレンブルーの反応を例に光触媒活性につ いても評価する. これらの反応に利用するシリ カ-チタニアの形状として、多孔質球状中空体 を用いた. 球状中空体は, 幾何学的な構造の中 で最も表面積が大きく,中空構造にすることで 密度を低く内外の面積を利用できる利点があ げられる. さらに, 反応物と触媒が接触する頻 度を高めるために比表面積が向上する必要が

近年では環境問題は複雑化しており,様々な

本研究では各組成比で多孔質球状中空シリカ・チタニアの合成を行い、アンモニアボラン加水分解活性による水素生成およびメチレンブルーの分解反応によって光触媒活性を評価した.このとき、シリカとチタニアの前駆体の組成比を変化させることでそれぞれの反応に対して効率的に活性を示す最適条件の探索を行う.

あるため、中空壁を多孔質化した.

### 2. 実験方法および測定方法

自製したポリスチレン懸濁液、純水、エタ ノール, 2.5 wt%臭化セチルトリメチルアン モニウム水溶液(CATB)を加え, 30 min 室 温で撹拌した. その後,シリカとチタニアのモ ル比が 10,30 および 100 になるようにテト ラエトキシシランおよびチタニウム-*n*-ブト キシドをそれぞれ加えた. さらにアンモニア 水を加え, 室温で 17 h 撹拌した. 得られた懸 濁液を吸引ろ過し,固体成分を回収した.そ れを乾燥させ、温度 600 ℃で焼成した. 得ら れた試料は透過型電子顕微鏡 (TEM) で形態 観察, 窒素吸着測定で比表面積および X 線回 折(XRD)で結晶性の評価を行った. さら に、合成した試料の酸点量は、メチルレッド を指示薬とした中和滴定法によって評価した. アンモニアボラン加水分解は純水とアンモ ニアボランを加え溶解するまで室温で撹拌し た. 合成した試料を加えて、反応させること で, 発生する水素量ならびに発生速度を評価 した. また 1 ppm のメチレンブルー水溶液に 多孔質球状中空シリカ・チタニアを加え, 反応 開始前から 10 分間は吸着反応を行った. 10 分から 60 分間は, 365 nm のブラックライト を照射して光触媒反応を行った. この溶液を 3 mL ずつ時間ごとに採取して,紫外可視分 光法 (UV-Vis) で評価した. また, UV-Vis を使用する前に,遠心分離をすることで,液 中に懸濁する固体成分を分離してから, 評価 した.

#### 3. 実験結果および考察

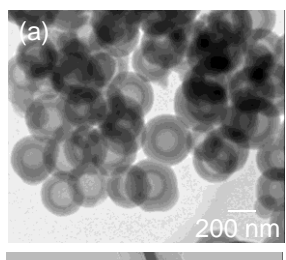
Si/Ti モル比 10,30 および 100 で合成した多 孔質球状中空シリカ・チタニアを TEM 装置で 観察した. Fig.1 に各 Si/Ti モル比で合成した 試料の TEM 写真を示す. この結果から,コントラストの差から,中空空の存在が確認できた.さらに,中空壁厚は約 100 nm であり,同程度のであることが示唆された. つぎにこれらの試料について窒素吸着による比表面積

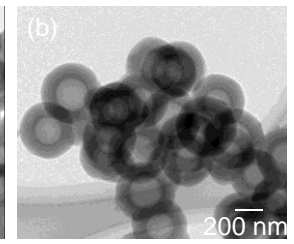
Application of catalysts and adsorbent of mesoporous silica-titania hollow spheres

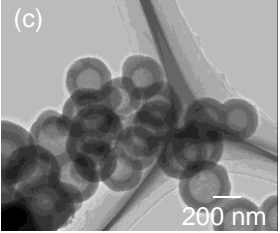
Naoki TOYAMA, Kouki MIZUMURA, Asa HAYASHI and Shigeki FURUKAWA

測定を行ったところ、すべての試料において  $600\sim680~m^2g^1$ とほぼ同等の値を示した.これは、中空壁厚や粒径がほぼ同等であることが要因として考えられる.加えて、XRDの結果からはシリカの非晶質のピークのみ観察された.

まずこれらの試料を用いてアンモニアボラン加水分解活性で評価を行った. Fig.2 に各 Si/Ti モル比で合成した試料を用いたアンモニアボラン加水分解活性を示す. この結果から, Si/Ti モル比 30 で合成した試料の水素発生量が最も高いことがわかった. この違いについて検討するため, 酸点量を比較したところ水素発生量の傾向と一致することが確認された. このことから, アンモニアボラン加水分解活性は試料の酸点量に依存することが示唆された.







Si/Ti モル比 / - (a) 10, (b) 30, (c) 100

 Fig.1 各 Si/Ti モル比で合成した多孔質球状中空シリカ-チタニアの TEM 写真

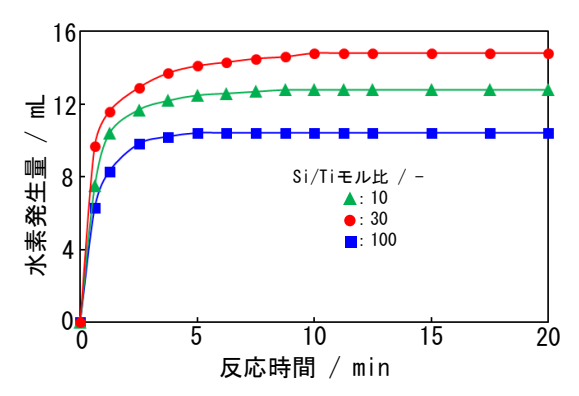


Fig.2 各 Si/Ti モル比で合成した多孔質球状中空 シリカ-チタニアのアンモニアボラン加水 分解活性

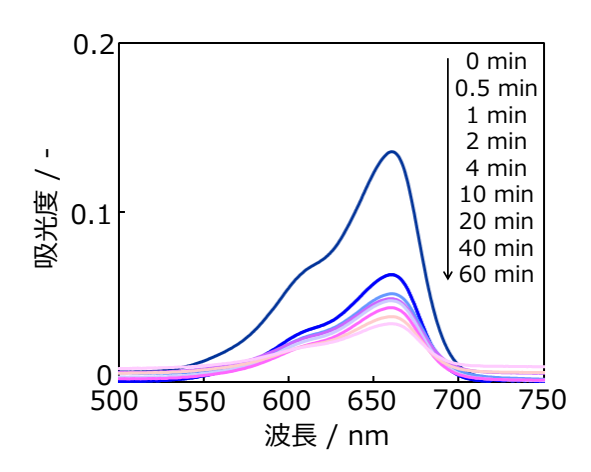


Fig.3 Si/Ti モル比 30 で合成した多孔質球状中空 シリカ-チタニアを用いた各時間のメチレ ンブルー水溶液の UV-Vis スペクトル

最後に,これらの試料を用いてメチレンブ ルーの吸着および光触媒活性について評価し た. Fig. 3 に Si/Ti モル比 30 で合成した試料 を用いた各時間でのメチレンブルー溶液の この UV-Vis スペクトルを示す. 660 nm およ び 600 nm 付近のピークがメチレンブルーに 由来するピークであり、今回は 660 nm のピ ークの各時間での減少について着目すると, UV ランプの照射をしていない反応開始から 10 分までは大きく減少したのに対して, UV ランプを照射した 10 分以降ではほとんどピ ーク強度が変化しなかった.このことから, Si/Ti モル比30で合成した試料はほとんど吸 着反応として機能していることがわかった. 光触媒として機能しなかった理由として,メ チレンブルーの吸着によって表面を覆って しまい UV ランプの光が遮断されたことが要 因として考えられる.

#### 参考文献

- 1) N. Toyama, S. Ohki, M. Tansho, T. Shimizu, T. Umegaki, Y. Kojima, Influence of alcohol solvents on morphology of hollow silica—alumina composite spheres and their activity for hydrolytic dehydrogenation of ammonia borane, *J. Sol-Gel Sci Technol.* 82 (2017) pp.92-100.
- C. Lin, Y. Song, L. Caoc and S. Chen, Effective photocatalysis of functional nanocomposites based on carbon and TiO2 nanoparticles, *Nanoscale* 5 (2013) pp.4986-4992.